

اثر تعديل فعالیت گیرنده‌های آدنوزینی A₁ نورونهای قشر انتورینال بر شدت تشنجهای ناشی از کیندلینگ آمیگدال در موش‌های صحرایی

محمد محمدزاده Ph.D.^{*}, سید جواد میرنجفی‌زاده Ph.D.[†]

یعقوب فتح‌الهی Ph.D.[‡], سید علی روضاتی M.Sc.[§]

^{*} دانشگاه تربیت مدرس، دانشکده پزشکی، گروه فیزیولوژی

[†] آدرس مکاتبه: تهران، صندوق پستی ۱۴۱۱۵-۱۱۱، دانشگاه تربیت مدرس

دانشکده پزشکی، گروه فیزیولوژی

چکیده

* هدف: بررسی نقش گیرنده‌های آدنوزینی A₁ نورونهای قشر انتورینال بر تشنجهای ناشی از کیندلینگ الکتریکی آمیگدال

* مواد و روشها: موش‌های صحرایی با تحریک الکتریکی روزانه آمیگدال، کیندل شده و N⁻ سیکلو هگزیبل آدنوزین (CHA: Cyclo Hexyl Adenosine) (CHA: Cyclo Hexyl Adenosine)، آگونیست اختصاصی گیرنده آدنوزینی A₁ با غلطنهای ۱، ۰، ۰/۱ و ۰/۱ میکرومولار و ۸-سیکلوپنتیل ۱، ۳-دی متیل گزانتب (CPT: Current Procedural Terminology)، آگونیست اختصاصی گیرنده آدنوزینی A₁ با غلطنهای ۱ و ۵ میکرومولار از طریق دوکانول راهنمای قشر انتورینال تزریق گردید. سرعت تزریق هر یک از داروها ۲mlit/۲min بود. گروههای مختلف حیوانات در زمانهای ۵، ۱۵، ۶۰ و ۱۲۰ دقیقه پس از تزریق دارو تحریک شده و کمیتهای تشنجی در آنها اندازه گیری شد. همچنین برای بررسی تاثیر ضد تشنجی CHA در گروهی دیگر از حیوانات، CPT (۵μM) ۵ دقیقه قبل از CHA (۱۰μM) به داخل قشر انتورینال تزریق شد.

* یافته‌ها: داروی CHA با غلط ۱۰ میکرومولار در زمانهای ۵، ۱۵، ۶۰، ۱۲۰ دقیقه پس از تزریق، باعث کاهش معنی دار مدت زمان امواج تخلیه متعاقب آمیگدال و مدت زمان امواج تخلیه متعاقب قشر انتورینال (E-ADD) و مدت زمان مرحله ۵ تشنج گردید و زمان تأخیری بین تحریک تا شروع مرحله ۴ تشنج را افزایش داد؛ اما در مرحله حمله هیچ تغییری به وجود نیاورد. CHA با غلط ۱/۰ و ۱ میکرومولار، در زمانهای ۵ و ۱۵ دقیقه پس از تزریق، تنها باعث کاهش معنی دار E-ADD: Epileptic Attentional Deficit Disorder شد. تزریق دو طرفه CPT به قشر انتورینال، هیچ تغییر معنی دار در کمیتهای تشنج ایجاد نکرد. زمانی که CPT (۵ میکرومولار)، ۵ دقیقه قبل از تزریق CHA (۱۰ میکرومولار) به داخل قشر انتورینال تزریق شد، به طور معنی دار اثرات ضد تشنجی CHA را کاهش داد.

* نتیجه‌گیری: نتایج حاصله پیشنهاد می‌کند که قشر انتورینال ممکن است در گسترش امواج تشنجی از آمیگدال به سایر نواحی نقش داشته باشد و فعالیت گیرنده‌های آدنوزینی A₁ این ناحیه در بروز اثرات ضد تشنجی نقش داشته باشد.

گل واڑگان: تشنج، آمیگدال، قشر انتورینال، آدنوزین

مقدمه

(موسسه رازی، تهران) در محدوده وزنی ۳۰۰-۳۵۰ گرم استفاده شد. برای بیهوش کردن حیوان محلول کاتامین و رامپون به نسبت هشت به یک با دوز ۱۰۰ mg/kg به صورت داخل صفاتی تزریق می شد و حیوان بیهوش در دستگاه استریوناکسی قرار می گرفت. مختصات محل کار گذاری الکتروود بر اساس اطلس پاکسیز (۲۴)، در هسته های قاعده ای جانشی آمیگدال و قشر انتورینال مشخص می گردید. مختصات آمیگدال ۲/۵ میلی متر به عقب و ۴/۸ میلی متر به سمت راست نسبت به برگما و ۵/۸ میلی متر زیر سخت شامه است. دو الکتروود تک فلubi نیز توسط پیچهای متصل به آنها به سطح جمجمه محکم می شدند. پس از پایان کار گذاری الکتروودها و کاتولها، پنهانی متصل به الکتروود در داخل مادگی سوکت مخابراتی فرار داده می شد و سوکت توسط سیمان دندانه شکی بر روی سر حیوان متصل می گردید.

یک هفته بعد از جراحی، حیوانات با شدت جریان آستانه تحريك می شدند. برای به دست آوردن شدت آستانه، ابتدا حیوان مورد نظر توسط جریانی با شدت ۱۰ میکروآمپر تحريك می گردید. اگر امواج تخلیه متعاقب (حداقل به مدت ۵ ثانیه) ثبت می گردید، این شدت جریان به عنوان شدت جریان آستانه شناخته می شد. در غیر این صورت، هر بار شدت جریان را ۱۰ میکروآمپر به فواصل ۵ دقیقه افزایش داده تا امواج تخلیه متعاقب ثبت گردد. پس از آن حیوانات هر ۲۴ ساعت یکبار با شدت جریان آستانه تحريك می شدند تا مرحله تشنج را نشان داده و کبیدل شوند. مراحل حمله تشنجی در مدل کیندلهای عبارتند از: ۱) حرکات دهان و صورت؛ ۲) انقباض عضلات گردن؛ ۳) کلئونوس در یکی از اندامهای جلویی؛ ۴) ایستادن روی دو پای عقبی همراه با کلئونوس دو اندام جلویی و ۵) از دست رفتن تعادل و به زمین خوردن (۲۵).

بعد از هنچ بار مشاهده مرحله ۵ تشنج، آزمایشها مربوط به تزریق دارو انجام می گرفت. کمیتهایی که در این تحقیق بعد از هر بار تحريك اندازه گیری می شدند عبارتند از: مدت زمان تخلیه های متعاقب از آمیگدال^۱ مدت زمان تاخیری بین تحریک الکتریکی و شروع مرحله ۴ تشنج Stage 4 latency; S4L^۲) طول دوره مرحله ۵ تشنج (Stage 5 duration; S5D^۳) مرحله حمله تشنج کمیتهای اول و دوم که الکتروفیزیولوژیک هستند، سایر کمیتها رفتاری هستند که با مشاهده حیوان و ثبت زمان به وسیله کامپیوتر اندازه گیری می شوند. در تمام آزمایشها از گروههای نایابی استفاده گردید و تا حد امکان ضوابط اخلاقی کار با حیوانات در نظر گرفته شد.

۱- تزریق دارو

تزریق CPT یا CHA به داخل قشر انتورینال

CPT یا CHA پس از حل شدن در ACSF با دوزهای ۱، ۵ و ۱۰ میکرومولاو و CPT با دوزهای ۱ و ۵ میکرومولاو به حیوانات

1. Amygdala afterdischarge duration
2. Entorhinal cortex afterdischarge duration

صرع یکی از اختلالات عصبی است که به دلیل ناشایخته بودن مکانیسمهای ایجاد آن راه درمان قطعی آن هنوز شناخته نشده است. این رو با استفاده از مدلهای آزمایشگاهی ایجاد تشنج مطالعات فراوانی در حال انجام است. یکی از مدلهای رایج ایجاد تشنج، کیندلهای است که در آن با تحریک مکرر ناحیه خاصی از مغز در حیوان آزمایشگاهی تشنج ایجاد می شود. کیندلهای بھرین مدل برای ایجاد شایعترین نوع تشنج در انسان یعنی تشنجهای موضعی پیچیده است (۱، ۲، ۳). در تشنجهای موضعی پیچیده، منشاء ایجاد تشنج معمولاً لوب گیجگاهی و سیستم لیمیک است (۴، ۵). آمیگدال یکی از نواحی سیستم لیمیک است که در ایجاد صرع لوب گیجگاهی دخالت دارد (۶). از طرفی قشر انتورینال نیز در تولید حملات گیجگاهی دخالت دارد (۷)، (۸)، (۹)، (۱۰)، (۱۱) و به عنوان تاشهای مهم در شروع و گسترش حملات (۱۲) در نظر گرفته می شود. وجود ارتباط آناتومیکی و فیزیولوژیکی این قشر با آمیگدال مشخص شده است (۱۳). با توجه به ارتباط آناتومیک بین آمیگدال و قشر انتورینال احتیاج داده می شود که تغییر فعالیت پاخته های قشر انتورینال بر شدت تشنجات ناشی از کیندلهای آمیگدال مؤثر باشد. نوروترانسیمیترها و نورومدولاتورها از عواملی هستند که فعالیت پاخته ها را تغییر می دهند. آدنوزین به عنوان یک نورومدولاتور شناخته شده است که غلظت آن در زمان تشنج بسیار زیاد می شود (۱۴). مشاهده شده است که تزریق سیستمیک (۱۵)، (۱۶)، (۱۷) و یا تزریق داخل بطن مغزی (۱۸) آگونیستهای آن سرجب مهار تشنجهای ناشی از کیندلهای و تزریق آنتاگونیستهای آن در زمان تشنج بسیار زیاد می شود (۱۹)، (۲۰)، (۲۱)، (۲۲)، (۲۳) باعث تقویت و تسریع این تشنجها می گردد. اما هنوز دقیقاً شخص شده است که این اثرات در کدام ناحیه مغزی اعمال می شود و یا اینکه کدام نواحی پیشترین تأثیر را در بروز این اثرات دارند. مطالعات ثانی می دهد که آدنوزین اثرات خد تشنجی خود را از طریق گیرنده آدنوزینی A₁ اعمال می کند (۲۰، ۲۱، ۲۲). تاکنون نقش برخی از این نواحی از جمله آمیگدال (۲۳)، هیپوکamp (۱۵) و قشر پری راینال (۲۴) در ایجاد اثرات ضد تشنجی آدنوزینی ثانی داده شده است. از طرفی، با توجه به وجود گیرنده های آدنوزینی این قشر بر فعالیت تشنجی ناشی از الکتریکی آمیگدال ارائه نشده است. بنابراین، هدف از این تحقیق این است که نقش قشر انتورینال و فعالیت گیرنده های آدنوزینی A₁ این ناحیه در گسترش حملات تشنجی ناشی از الکتریک آمیگدال بررسی شود.

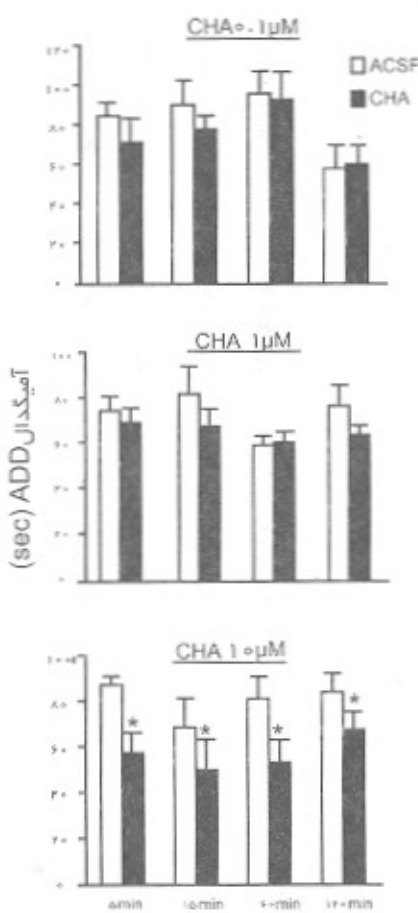
مواد و روشها

در این تحقیق از داروهای N⁶-سیکلرهاگریل آدنوزین N⁶-cyclohexyladenosine; CHA) و از ۸-سیکلوتیبل - ۱، ۳- دی متیل گرانثین (3, 1, 3-dimethylxanthine; CPT) محصول شرکت RBI (به ترتیب به عنوان آگونیست و آنتاگونیست اختصاصی گیرنده A₁ استفاده شد.

۲- جراحی حیوانات

در این تحقیق از موشهای صحرابی نر نژاد Sprague Dawley





شکل ۵: اثر تزریق دو طرفه (۱۰ و ۱-۰ میکرومولار) به قشر انتورینال بر اسواج تنبله متعالی بث شده از آمیگدال. حیوانات در زمانهای ۱۵، ۶۰ و ۱۲۰ دقیقه بعد از تزریق، تحریک شدند مقابله به صورت دیالکترن \pm میانی معیار دیالکترن و بر حسب تاثیر نشان داده شده اند. نشان مفهود $P < 0.05$ در مقایسه با حالت کنترل (تزریق ACSF) با استفاده از آزمون t -زوچهای است.

همچنین CHA در تمامی دوزها، ADD ثبت شده از قشر انتورینال

را به طور معنی داری کاهش داد. CHA با غلظت ۱۰ میکرومولار در تمامی زمانهای ۱۵، ۶۰ و ۱۲۰ دقیقه کاهش معنی داری نشان داد، اما غلظت ۱ میکرومولار فقط در زمانهای ۱۵ و غلظت ۱/۰ میکرومولار در زمان ۱۵ دقیقه کاهش معنی داری در ADD ثبت شده از قشر انتورینال داشت (شکل ۲).

آزمون ANOVA دو طرفه نشان داد که این اثر وابسته به دوز بوده ($F(۲، ۵۸)=7.13, P<0.001$) اما وابسته به زمان ($F(۶، ۵۸)=0.73, P=0.61$) و دوز \times زمان ($F(۳، ۵۸)=0.62$ ،

کمیت S4L تها در دوز ۱۰ میکرومولار زمانهای ۱۵، ۶۰ و ۱۲۰ دقیقه بعد از تزریق، به طور معنی دار افزایش یافت (شکل ۳). بر اساس آزمون ANOVA دو طرفه این اثر وابسته به دوز ($F(۶، ۶۶)=17.42$ ($F(۲، ۶۶)=4.42, P<0.0001$) و دوز \times زمان ($F(۳، ۶۶)=1.08, P=0.36$) نیست. کمیت S5D بوده اما وابسته به زمان ($F(۳، ۶۶)=1.27, P=0.28$) نیست. کمیت ADD تها در دوز ۱۰ μM CHA، پس از تزریق زمانهای ۱۵، ۶۰ و ۱۲۰ دقیقه به طور معنی دار کاهش یافت (شکل ۴).

گیندل شده تزریق و حیوانات در زمانهای ۱۵، ۶۰ و ۱۲۰ دقیقه پس از تزریق تحریک شده و کمیتهای تشنجی آنها اندازه گیری شد. در همه آزمایشها، ۲۴ ساعت قبل از تزریق داروهای به حیوانات تزریق ACSF می شد و از داده های حاصل به عنان کنترل استفاده می گردید.

تزریق CHA همراه با CPT به داخل قشر انتورینال

در این آزمایش تزریق CPT (۵ میکرومولار) ۵ دقیقه قبل از تزریق CHA (۱۰ میکرومولار) صورت گرفت و حیوانات در زمانهای ۱۵، ۶۰ و ۱۲۰ دقیقه پس از تزریق CHA تحریک شدند و تمامی کمیتهای تشنجی بعد از تحریک، اندازه گیری گردید.

* تأیید بافت شناسی

پس از پایان هر آزمایش جهت اطمینان از قوار داشتن الکترود و کانول در محل مورد نظر به محل کاتول الکترود آبی میل تزریق شده و محل الکترود نیز توسط جریان الکتریکی مستقیم باشدت ۱mA و به مدت زمان ۸ ثانیه تحریک گردید. پس مغز حیوانات خارج و در محلول فرمالین ۱۰ درصد قرار داده شد. بعد از یک هفته از محل الکترود و کانول بر شرگیری به عمل آمده تا محل الکترود و کانول مشخص گردد. فقط داده های حاصل از حیواناتی که الکترود در موقعیت مناسب قرار داشت، مورد استفاده قرار گرفت.

روش تجزیه و تحلیل اطلاعات

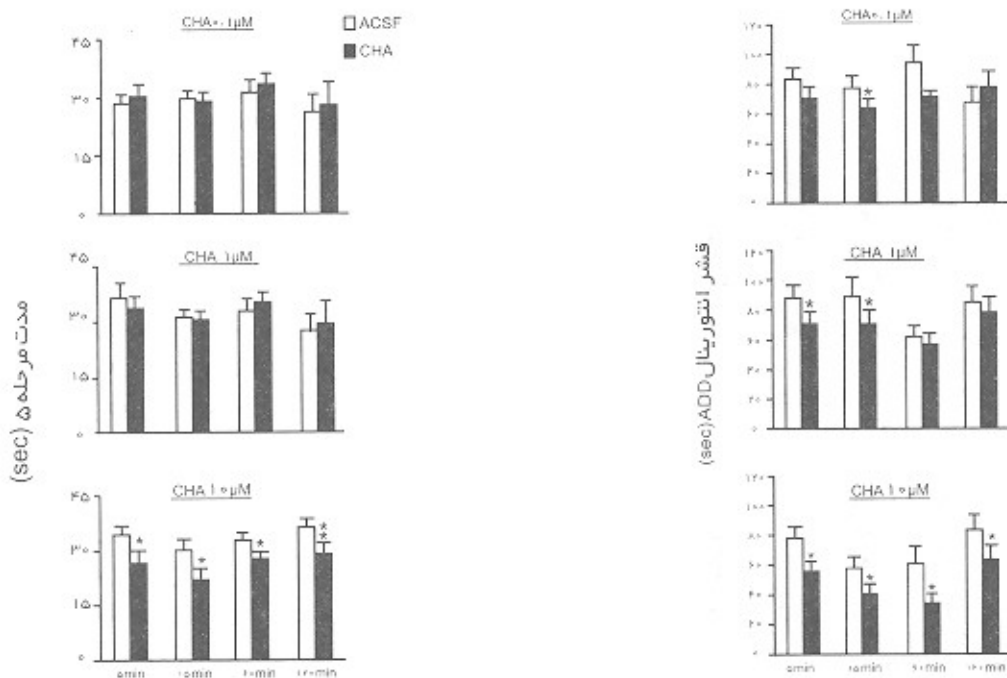
برای مقایسه تأثیر غلظتها مختلف CPT و CHA در زمانهای پس از تزریق دارو بسر کمیتهای تشنج از آزمون ANOVA دو طرفه (Completely randomized) و آزمون Tukey استفاده شد. جهت مقایسه هر یک از کمیتها با کنترل مربوطه از آزمون t -زوچهای استفاده گردید. همچنین برای مقایسه کمیتها به دست آمده از گروهی که CHA دریافت گرده بودند با گروهی که CHA همراه با CPT دریافت کرده بودند، از آزمون t -زوچهای استفاده گردید.

یافته ها

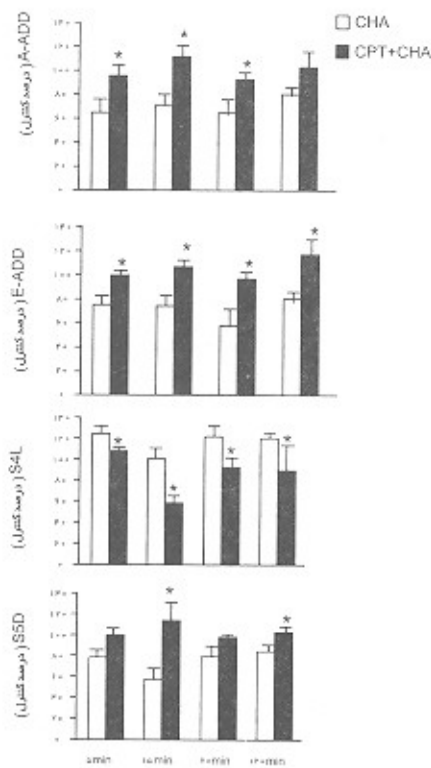
تماس حیواناتی که با تحریک آمیگدال گیندل شده بودند، قبل و بعد از تزریق ACSF مرحله ۵ تشنج را نشان دادند. CPT و CHA در دوز های مورد استفاده اثر قابل توجهی بر رفتار و فعالیت حرکتی حیوان نداشتند. بررسیهای بافت شناسی نیز وجود الکترود در آمیگدال و کانول در قشر انتورینال را تأیید کرد.

* اثر تزریق CHA یا CPT به داخل قشر انتورینال

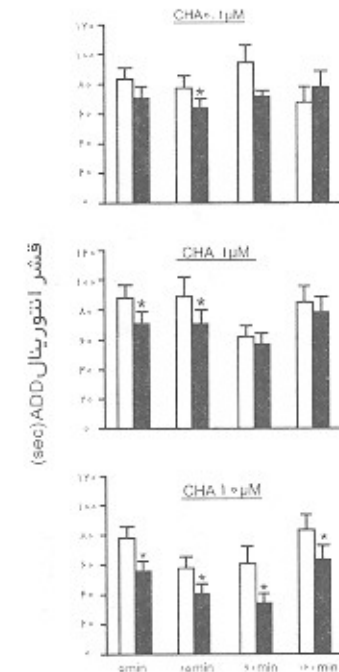
در این آزمایش در اثر تزریق غلظت ۱۰ میکرومولار CHA کاهش معنی داری در ADD ثبت شده از آمیگدال در زمانهای ۱۵، ۶۰ و ۱۲۰ دقیقه مشاهده شد (شکل ۱) و آزمون ANOVA دو طرفه نشان داد که این اثر وابسته به دوز بوده ($F(۲، ۶۶)=11.44, P=0.25$) اما وابسته به زمان ($F(۳، ۶۶)=1.27, P=0.28$) نیست. و با دوز \times زمان ($F(۶، ۶۶)=1/32, P=0.25$)



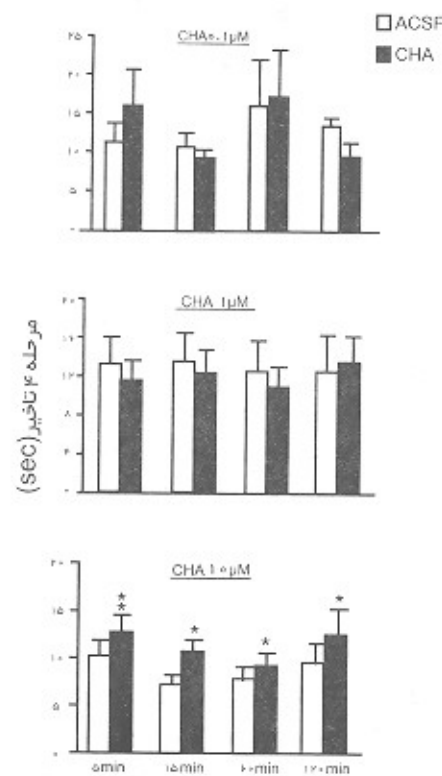
شکل ۲: اثر تزریق دو طرفه CHA (۱ و ۱۰ میکرومولار) به قشر انتوریتال بر امواج تخلیه متعاقب ثبت شده از قشر انتوریتال. حیوانات در زمانهای ۰، ۱۵، ۳۰ و ۴۵ دقیقه بعد از تزریق تحریک شدند. مقایر به صورت میانگین ± خطای معیار میانگین و بر حسب ثانیه شنان داده شده‌اند. * شنان دهنده $P < 0.05$ در مقایسه با حالت کنترل (تزریق (ACSF) با استفاده از آزمون *t*-زوچها می‌باشد.



شکل ۵: کاهش اثرات CHA بر مدت زمان تخلیه متعاقب آمیدکال (A-ADD)، مدت زمان تخلیه متعاقب قشر انتوریتال (E-ADD)، مدت زمان ناخبری میان شروع تحریک تا شروع مرحله ۵ نشنج (S4L) و مدت زمان مرحله ۵ نشنج (SSD) به دنبال تزریق ۰.۵ CPT. دقیقه قبل از تزریق CHA با غلظت ۱۰ میکرومولار CPT به غلظت ۱۰ μM تزریق شد. حیوانات در زمانهای ۰، ۱۵، ۳۰ و ۴۵ دقیقه بعد از تزریق تحریک شدند. مقایر به صورت میانگین ± خطای معیار میانگین و بر حسب ثانیه شنان داده شده‌اند. * شنان دهنده $P < 0.05$ در مقایسه با حالت کنترل (تزریق (ACSF) با استفاده از آزمون *t*-زوچها می‌باشد.



شکل ۳: اثر تزریق دو طرفه CHA (۱ و ۱۰ میکرومولار) به قشر انتوریتال بر امواج تخلیه متعاقب ثبت شده از قشر انتوریتال. حیوانات در زمانهای ۰، ۱۵، ۳۰ و ۴۵ دقیقه پس از تزریق تحریک شدند. مقایر به صورت میانگین ± خطای معیار میانگین و بر حسب ثانیه شنان داده شده‌اند. * شنان دهنده $P < 0.05$ در مقایسه با حالت کنترل (تزریق (ACSF) با استفاده از آزمون *t*-زوچها می‌باشد.



شکل ۴: اثر تزریق دو طرفه CHA (۱ و ۱۰ میکرومولار) به قشر انتوریتال بر امواج تخلیه متعاقب ثبت شده از قشر انتوریتال. حیوانات در زمانهای ۰، ۱۵، ۳۰ و ۴۵ دقیقه بعد از تزریق تحریک شدند. مقایر به صورت میانگین ± خطای معیار میانگین و بر حسب ثانیه شنان داده شده‌اند. * شنان دهنده $P < 0.05$ در مقایسه با حالت کنترل (تزریق (ACSF) با استفاده از آزمون *t*-زوچها می‌باشد.

قشر انتورینال است. در این تحقیق با تزریق CHA به صورت دو طرفه قشر انتورینال، کاهش معنی داری در ADD و S5D و افزایش معنی داری در S4L مشاهده گردید. تغییرات مذکور همگی دلالت بر اثرات ضد شنجی این دارو دارند و لذا به نظر می‌رسد که احتمالاً فعال شدن گیرنده‌های آدنوزینی A₁ در نورونهای این ناحیه از گسترش بیشتر امواج شنجی جلوگیری می‌کند. بروز اثرات ضد شنجی به هنگام تزریق CHA به قشر انتورینال در واقع به علت اثرات مهاری متعاقب و فعالیت‌های گیرنده‌های آدنوزینی A₁ در نورونهای این ناحیه وجود ارتباط آناتومیکی بین قشر انتورینال و آمیگدال است. این احتمال را می‌توان مطرح کرد که کاهش فعالیت نورونهای قشر انتورینال نیز باعث کاهش فعالیت نورونهای آمیگدال می‌گردد. کاهش مدت زمان امواج تخلیه متعاقب آمیگدال نشان می‌دهد که در شرایط معمول هنگام کیندلتینگ آمیگدال نورونهای قشر انتورینال موجب تقویت فعالیت نورونهای آمیگدال می‌گردد و با مهار نورونهای قشر انتورینال به وسیله CHA، این اثر تقویتی از بین می‌رود. از طرف دیگر به دنبال تزریق CHA مدت زمان امواج تخلیه متعاقب قشر انتورینال نیز کم می‌شود. کاهش مدت میزان امواج تخلیه‌های متعاقب قشر انتورینال مهمترین نشانه کاهش نورونهای قشر انتورینال فعالیت قشر انتورینال در این تحقیق است.

برای تایید این موضوع که اثرات ضد شنجی آدنوزین از طریق گیرنده‌های آدنوزینی A₁ انجام می‌شود، CPT، ۵ دقیقه قبل از تزریق CHA در قشر انتورینال تزریق گردید، نتایج این آزمایش نشان داد که در این حالت اثرات ضد شنجی CHA بروز نمی‌کند. حذف اثرات ضد شنجی در این حالت نشان دهنده اشغال گیرنده‌های A₁ نورونهای این ناحیه توسط CPT است که قبل از CHA تزریق شده است. بتاریخ نتیجه این مرحله از آزمایشها مؤید این موضوع است که CHA از طریق گیرنده‌های آدنوزینی A₁ اثرات خود را اعمال کرده است.

در رابطه با مکانیسم فعالیت گیرنده‌های آدنوزینی روشن شده است که آدنوزین از طریق تاثیر بر این گیرنده، از آزاد شدن میانجی‌های عصبی تحریکی مانند گلوتامات، آسپارتات (۲۹)، استیل کولین و نورادرنالین (۳۷، ۳۸) جلوگیری می‌کند. این عمل از طریق کانالهای کلیسی انجام می‌شود (۳۹). گیرنده A₁ عمده‌تاً از طریق مهار آدنیلات سیکلаз عمل می‌کند. مکانیسم دیگری که گیرنده A₁ از طریق آن عمل می‌کند، فعال کردن فسفولیپاز C است؛ این آنزیم، کلیسی درون سلولی را افزایش می‌دهد. یکی از نتایج افزایش کلیسی درون سلولی، فعال شدن کانال پاتاسیمی است. فعال شدن ا نوع مختلف از کانالهای پاتاسیمی نوسط گیرنده A₁ در نورونهای گزارش شده است. به عنوان مثال فعال شدن کانال پاتاسیمی ATP منجر به کاهش دوره پتانسیبل عمل می‌شود. گیرنده A₁ همچنین جریان کلیسی را نیز کاهش می‌دهد که این یکی از دلایل مهار رهایش نوروترانسیمترها به دنبال فعال شدن این گیرنده‌ها است (۳۹). از آنجاکه اسید اسپارتیک و نورآدرنالین از میانجی‌های عصبی تحریکی موجود در قشر انتورینال هستند، احتمال داده می‌شود که بخشی از اثرات ضد شنجی که به دنبال تزریق CHA به قشر انتورینال مشاهده می‌شود ناشی از مهار رهایش نوروترانسیمترها باشد.

بر اساس آزمون ANOVA دو طرفه این اثر وابسته به دوز (P<0.001) (F(۲،۶۶)=8.63)، می‌باشد اما ابسته به زمان (P=0.95) (F(۳،۶۶)=0.81) با وابسته به دوز × زمان (P=0.25) (F(۶،۶۶)=0.25) نیست. آزمون ANOVA دو طرفه نشان داد که در هیچ یک از دوزهای در کیت‌های شنجی تغییری ایجاد نکرد.

* اثر تزریق CHA همراه با CPT به قشر انتورینال آزمون + غیرزوجها نشان داد هنگامی که CPT (۵ μ M) ۵ دقیقه قبل از CHA (۱۰ μ M) به حیوانات تزریق شود، می‌تواند اثر کاهشی بر ADD و S5D و اثر افزایشی آن بر S4L را حذف نماید (شکل ۵).

بحث

نتایج حاصله از این تحقیق نشان داد که تزریق آگونیست اختصاصی گیرنده‌های آدنوزینی A₁ به قشر انتورینال دارای اثرات مهاری بر شنجهای ناشی از کیندلتینگ آمیگدال است.

آدنوزین یک نبدیل کننده عصبی است و به عنوان یک ماده ضد شنجی درون زاشناسخه شده است (۱۴، ۲۶، ۲۷، ۲۸). این ماده در مدل‌های آزمایشگاهی صرع، اثرات ضد شنجی نشان داده است (۱۴). مشاهده شده است که تزریق آگونیستهای آدنوزین به صورت سیستمیک (۱۵، ۱۶، ۱۷) و یا به داخل بطن مغز (۱۸) موجب مهار شنجهای ناشی از کیندلتینگ و تزریق آنتاگونیستهای آن (۸، ۱۸، ۱۹، ۲۰) باعث نقویت و تسریع این شنجها می‌گردد. همچنین در شرایط نیز in vitro گزارش شده است که آنالوگهای آدنوزین باعث مهار رهایش میانجی‌های تحریکی در نورونهای هیپوکامپ می‌شوند (۲۱، ۲۹، ۳۰). تمامی این شواهد حاکی از اثرات ضد شنجی آدنوزین بوده اما هنوز دقیقاً مشخص شده است که این اثرات در کدام ناحیه مغزی اعمال می‌شود و یا کدام نواسی بیشترین تأثیر را در بروز این اثرات دارند. مطالعه‌ای که در گذشته انجام شده است نشان می‌دهد که آدنوزین اثرات ضد شنجی خود را از طریق گیرنده آدنوزینی A₁ اعمال می‌کند (۲۱، ۴۰). تاکنون نقش برخی از نواحی مغزی که دارای این گیرنده هستند بررسی شده است. در همین راستا، نتایج حاصل از این تحقیق نشان داد تزریق آگونیست اختصاصی گیرنده (CHA) به قشر انتورینال که یکی از نواحی مهم در رابطه با گسترش امواج شنجی (۳۲) از آمیگدال بوده و دارای گیرنده‌های آدنوزینی A₁ است (۱۲) و موجب بروز اثرات ضد شنجی می‌گردد.

شواهد فراوانی وجود دارد که قشر انتورینال در صرع لوب گیجگاهی، دخالت دارد (۳۳، ۳۴، ۳۵). همچنین گزارش شده است که در برخی موارد جهت کنترل صرع لوب گیجگاهی بخش قدامی لوب گیجگاهی که شامل ساختمانهای مختلفی از جمله شکیلات هیپوکمپ می‌باشد، برداشته می‌شود. با اینکه عمل کنترل صرع را در این موارد به هیپوکمپ نسبت می‌دهند اما چون قشر انتورینال نیز در این جراحی برداشته می‌شود (۳۶) احتمال می‌رود که کنترل صرع ناحدی نیز به حذف قشر انتورینال مربوط شود (۳۷).

نتایج حاصل از تحقیق حاضر نشان دهنده نقش تحریکی نورونهای

صورت که مهار نورونهای این ناحیه پس از تزریق CHA، از گسترش پیش از حد امواج تشنجی از آپیگدال جلوگیری کرده است. مرحله حمله (SS) در هیچ یک از غلطنهای به کار رفته CHA تغییری ایجاد نشد. از این رو می‌توان دو اختصار داد: اولاً در مرحله‌ای که تشنج عمومی شده است قسمتهای دیگری از مغز نقش دارند؛ یعنی قشر انوریتال به تهائی در حفظ امواج تشنجی در نواحی حرکتی مغز موثر نمی‌باشد و علاوه بر قشر انوریتال قسمتهای دیگری از سیستم عصبی باید مهار شوند. ثانیاً در مهار تشنج علاوه بر سیستم پوربرزیک، سیستمهای دیگر نیز نقش دارند.

در این تحقیق برای پی بردن به نقش آدنورین درون زا در قشر انوریتال، CPT به تهائی و به صورت دو طرفه این ناحیه تزریق گردید، که در هیچ یک از غلطنهای به کار رفته (۱ و ۵ میکرومولار) تغییر معنی‌داری در کسبهای تشنج مشاهده نشد. بسیاری از تحقیقات گذشته نیز نشان دهنده عدم تأثیر آنتاگونوستهای آدنوزین بر تشنج بوده‌اند (۱۵). بنابراین، نتایج حاصل از این تحقیق پیشنهاد می‌کند که نورونهای قشر انوریتال در گسترش امواج تشنجی ناشی از کیندلینگ آپیگدال نقش مهمی دارد و گیرنده‌های آدنوزینی A₁ تا حدی در این امر دخیل هستند. با توجه به اینکه شدت اثرات ضدتشنجی مشاهده شده در این تحقیق از شدت اثرات ضد تشنجی ناشی از تزریق داخل صفاتی آن (۱۵) کمتر است، لذا برای تشخیص بهتر نقش نواحی مختلف در ایجاد اثرات ضد تشنجی آدنوزینی به تحقیقات و بررسیهای پیشتری نیاز است.

References

1. Sato M, Racine RJ, McIntyre DC: Kindling: basic mechanisms and clinical validity. *Electroencephalogr Clin Neurophysiol* 1990; 76: 459-472
2. Chen S-J, Desai MA, Klann E, Winder DG, Sweatt JD, and Conn PJ: Amygdala kindling affects protein kinase C activity in dentate gyrus. *J Neurochem* 1992; 59: 1761-1769
3. Edwards HE, McIntyre DC, Mark M, Asa S, MacLusky NJ: Epilepsy limbic seizures alter reproductive function in the female rat. *Epilepsia* 1999; 40: 1370-1377
4. Gloor P: Role of the amygdala in temporal lobe epilepsy. In The Amygdala: Neurobiological aspects of emotion, memory and mental dysfunction, JP Aggleton (ed) New York, Wiley Liss, 1992, pp 505- 538
5. Fisher RS: Animal models of epilepsies. *Brain Res Rev* 1989; 14: 245-278
6. Morys J, Berdel B, Jagalska MajewskaH, Luczynska A: The basolateral amygdaloid complex its development, morphology and functions. *Folia Morphol* 2000; 3: 29-46
7. Witter MP, Wouterlood FG, Naber PA, Haeften TV: Anatomical organization of the parahippocampal

در این مطالعه حیوانات در زمانهای ۵، ۱۵، ۶۰، ۱۲۰ دقیقه پس از تزریق، حیوانات تحریک شدند و کمپتهای تشنجی اندازه گیری شدند. در تحقیقات گذشته شان داده شده است حداقل اثر تشنجی این دارو که ۱۵ دقیقه پس از تزریق داخل آپیگدالی CHA به وجود می‌آید (۴۰). بنابراین در این تحقیق زمان ۱۵ دقیقه انتخاب شد. به علاوه برای اینکه شان داده شود که کاهش فعالیت عصبی در آپیگدال در نتیجه گسترش CHA از قشر انوریتال به آپیگدال تبوده است و اثرات ضد تشنجی دارو به علت فعالیت گیرنده‌های آدنوزینی A₁ نورونهای قشر انوریتال ایجاد شده است، حیوانات ۵ دقیقه پس از تزریق، تحریک شدند. چون این مدت زمان برای انتشار دارو از یک ناحیه مغز مثل قشر انوریتال به ناحیه دیگر مغز (آپیگدال) کافی نیست (۳۱) و CHA ماده‌ای قطبی است (۴۱) و از سدخدونی - مغزی به راحتی عبور نمی‌کند بنابراین اثرات ضد تشنجی آن طولانی مدت خواهد بود. همانطور که در این تحقیق مشخص شد، اثرات دارو حتی تا ۱۲۰ دقیقه باقی مانده است. کمیت S4L نشان دهنده زمان لازم برای عموی شدن تشنج است، طولانی شدن این مرحله بعد از تزریق دارو نشان دهنده تأخیر در ایجاد تشنج عمومی است و این موضوع بر نقش احتمالی انوریتال در عموی شدن تشنج ناشی از کیندلینگ آپیگدال دلالت دارد. اما جهت روشن شدن کامل این موضوع تحقیقات بیشتری باید انجام گیرد. کاهش مدت زمان مرحله ۵ حمله نیز نشان دهنده نقش نورونهای قشر انوریتال در گسترش امواج تشنجی از آپیگدال به نواحی حرکتی مغز می‌باشد. بدین

- hippocampal network. *Ann. N Y Acad Sci* 2000; 11: 1-24
8. Du F, Schwarcz R, Tamminga CA: Entorhinal cortex in temporal lobe epilepsy. *Am J Psychiatr* 1995; 152: 826-840
 9. Du F, Whetsell WOJr, Abou Khalil B, Blumenkopf B, Lothman EW, Schwarcz R: Preferential neuronal loss in layer III of the entorhinal cortex in patients with temporal lobe epilepsy. *Epilepsy Res* 1993; 16: 223-233
 10. Kälviäinen R, Salmenperä T, Partanen K, Vainio P, Riekkinen P, Pitkänen A: MRI volumetry and T2 relaxometry of the amygdala in newly diagnosed and chronic temporal lobe epilepsy. *Epilepsy Res*, 1997; 28: 39-50
 11. Pitkänen A, Tuunanen J, Kälviäinen R, Partanen K, Salmenperä T: Amygdala damage in experimental and human epilepsy. *Epilepsy Res*, 1998; 32B: 233-253
 12. Ochiishi T, Takita M, Ikemoto M, Nakata H, Suzuki SS: Immunohistochemical analysis on the role of adenosine A₁ receptors in epilepsy. *Neuroreport* 1999; 10: 3535-3541
 13. Insauli R, Amaral DG, Cowan WM: The entorhinal cortex of the monkey: III. Subcortical afferents. *J Comp*

- Neurol 1987; 264: 396-408
14. Dunwiddie TV: Adenosine and suppression of seizures. In Jaspers basic mechanisms of the epilepsies, Delgado-Escueta AV, Wilson WA, Olsen RW, Porter RJ (eds), Philadelphia, Lippincott Williams & Wilkins, 1999, pp 1001-1010
 15. Pourgholami MH, Mirnajafi-Zadeh J, Behzadi J: Effect of intraperitoneal and intrahippocampal (CA1) 2-chloroadenosine in amygdaloid kindled rats. Brain Res 1997; 751: 259-264
 16. Ault B, Wang CM: Adenosine inhibits epileptiform activity arising in hippocampal area CA3. Br J Pharmacol 1986; 87: 695-793
 17. Tanaka T, Kondon S, Hori T, Tanaka S, Yukichi Y: Various hippocampal lesions induced by multi-functional ibotenic acid injections and amygdala kindling in rats. Brain Res, 1991; 559: 154-158
 18. Dunwiddie TV, Endogenously released adenosine regulates excitability in the *in vitro* hippocampus. Epilepsia 1980; 21: 541-548
 19. Scharfman HE, Hyperexcitability of entorhinal cortex after application of aminoxyacetic acid (AOAA) to layer III of the rat medial entorhinal cortex *invitro*. J Neurophysiol 1996; 76: 2986-3001
 20. Holmes KH, Bilkey DK, Laverty R: The infusion of an NMDA antagonist into perirhinal cortex suppresses amygdala kindled seizures. Brain Res 1992; 587: 285-290
 21. Mena A, Alonso A: Entorhinal cortex layer III neurons: Characterization and cholinergic excitation. Soc Neurosci Abstr 1994; 20: 1527-1540
 22. Pourgholami MH, Rostampour M, Mirnajafi-Zadeh J, Palizvan MR: Intra-amamygdala infusion of 2-chloroadenosine suppresses amygdala-kindled seizures. Brain Res 1997; 751: 259-264
 23. Mirnajafi-Zadeh J, Pourgholami MH, Palizvan MR, Rostampour M, Fallahi M: Anticonvulsant action of 2-chloroadenosine injected focally into the perirhinal cortex in amygdaloid kindled rats. Epilepsy Res 1999; 37: 37-43
 24. Paxinos G, Watson C: The rat brain in stereotaxic coordinates. California, Academic Press, 1986
 25. Racine RJ: Modification of seizure activity by electrical stimulation: 2. Motor seizure, Electroencephalogr clin Neurophysiol 1972; 32: 281-294
 26. Albertson TE, Toy RM, Stark LG: Caffeine modification of kindled amygdaloid seizures. Pharmacol. Biochem Behav 1983; 19: 339-343
 27. Albertson TE, Stark LG, Toy RM, Bowyer JF: Aminophylline and kindled seizures. Exp Neurol 1983; 81: 703-713
 28. Bortolotto ZA, Mello LE, Turski L, Cavalheiro EA: Effect of 2- chloroadenosine on amygdaloid and hippocampal kindled seizures. Arch Int Pharmacodyn Ther 1985; 277: 313-320
 29. Dragunow M, Goddard GV, Laverty R: Is adenosine an endogenous anticonvulsant? Epilepsia 1985; 26: 480-487
 30. Traynelis SF, Dingledine R, McNamara JO, Butler L, Rigsbee L: Effect of kindling on potassium induced electrographic seizures *in vitro*. Neurosci Lett 1989; 105: 326-332
 31. Holmes KH, Bilkey DK, Laverty R: The infusion of an NMDA antagonist into perirhinal cortex suppresses amygdala-kindled seizures. Brain Res 1992; 587: 285-290
 32. Fountain NB, Jonathan B, Edward HB, Lothman EW: Responses of deep entorhinal cortex are epileptiform in an electrogenic rat model of chronic temporal lobe epilepsy. J Neurophysiol 1998; 80: 230-240
 33. Dickson CT, Mena AR, Alonso A: Electoresponsiveness of medial entorhinal cortex layer III neurons *in vitro*. Neuroscience 1997; 81: 937-950
 34. Deutch C, Spencer S, Robbins R, Cicchetti D, Spencer D: Interictal spikes and hippocampal somatostatin levels in temporal lobe epilepsy. Epilepsia 1991; 32: 174-178
 35. Jones RSG, Heinemann UFH, Lambert JDC: The entorhinal cortex and generation of seizure activity: studies of normal synaptic transmission and epileptogenesis. In: Neurotransmitters in epilepsy, G Avanzini, Engel JJ, Fariello R, Heinemann U (eds). Amsterdam, Elsevier, 1992, pp 173-180
 36. Dragunow M: Purinergic mechanisms in epilepsy. Prog Neurobiol 1988; 31: 85-108
 37. Deckert J, Jorgensen MB: Evidence for pre and postsynaptic localization of adenosine A₁ receptors in the CA1 region of rat hippocampus: a quantitative autoradiographic study. Brain Res 1988; 449: 161-164
 38. Bengzon J, Kalen P, Lindvall O: Evidence for long term reduction of noradrenaline release after kindling in the rat hippocampus. Brain Res 1990; 535: 353-357
 39. Noguchi J, Yamashita H: Adenosine inhibits voltage-dependent Ca²⁺ currents in rat dissociated

- supraoptic neurones via A₁ receptors. J Physiol 2000; 526 Pt 2:313-26
40. Mirnajafi-Zadeh J, Fathollahi Y, Pourgholami MH: Interaperitoneal and intraamygdala N^E-cyclohexyladenosine suppress hippocampal kindled seizures in rats. Brain Res 2000; 858: 48-54
41. Klotz K-N: Adenosine receptors and their ligands. Naunyn Schmiedeberg Arch Pharmacol 2000; 362: 382-391

